

ХИМИЯ

УДК 547-304.2

Статья посвящается юбилею академика РАН Ирины Петровны Белецкой

## НОВЫЙ ЭФФЕКТИВНЫЙ ПОДХОД К ПОЛУЧЕНИЮ АНИЛОВ (+)-КАМФОРЫ И (−)-ФЕНХОНА В УСЛОВИЯХ ГОМОГЕННОГО КАТАЛИЗА

© 2023 г. А. А. Вернигора<sup>1,\*</sup>, Р. В. Брунилин<sup>1</sup>, В. В. Бурмистров<sup>1</sup>, А. В. Давиденко<sup>1</sup>,  
М. Б. Навроцкий<sup>2</sup>, Н. А. Салыкин<sup>1</sup>, В. В. Чернышов<sup>2,3</sup>, академик РАН И. А. Новаков<sup>1</sup>

Поступило 28.11.2022 г.

После доработки 30.06.2023 г.

Принято к публикации 06.07.2023 г.

Разработан эффективный подход к синтезу анилов (+)-камфоры и (−)-фенхона, заключающийся во взаимодействии соответствующих бициклических монотерпеноидных кетонов с замещенными анилинами в присутствии полученного *in situ* комплекса  $(i\text{-PrO})_2\text{Ti}(\text{OTf})_2 \cdot (i\text{-PrOH})_2$  в качестве гомогенного катализатора и  $(i\text{-PrO})_4\text{Ti}$  в качестве дегидратирующего агента. Преимущество предложенного способа заключается не только в получении целевых продуктов с хорошими выходами и высокой чистотой, но и в упрощенной процедуре их выделения. Данные продукты представляют потенциальный интерес в качестве фармакологически активных соединений, противостарителей для резиновых смесей и компонентов составов для 3D-печати.

**Ключевые слова:** анилы, (+)-камфора, (−)-фенхон, конденсация, гомогенный катализ

**DOI:** 10.31857/S2686953522600775, **EDN:** JZAGIZ

Монотерпены и монотерпеноиды, благодаря особенностям строения, доступности и высокой энантиомерной чистоте, а также нативной фармакологической активности, представляют собой перспективный исходный материал для химических модификаций [1, 2]. В частности, (+)-камфора в сочетании с низкой токсичностью обладает рядом ценных фармакологических свойств, среди которых особенно выделяется аналептическая активность [3]. Структурная модификация соединений, обладающих ценными видами фармакологической активности и при этом низкой токсичностью, является перспективным подходом к поиску потенциальных субстанций эффективных лекарственных препаратов [4]. Такая стратегия нередко приводит к получению соединений, обладающих совершенно новым спектром фарма-

кологических свойств, по сравнению с прототипом. Например, (+)-камфанимины, полученные из алифатических аминов разнообразного строения, обладают высокой противовирусной активностью в отношении вирусов гриппа A, в то время как (+)-камфора данной активностью не обладает [5–7]. В то же время модификация этих производных камфоры за счет конъюгирования с алкалоидом (−)-цитизином приводит к ослаблению противовирусных свойств [8, 9]. Известны примеры анилов (+)-камфоры, подавляющих рост *Mycobacterium tuberculosis* ATCC 27294 [10]. Кроме этого, (+)-камфан и (−)-фенханимины интересны в качестве средств, замедляющих старение резиновых смесей, и компонентов составов для 3D-печати [11, 12].

Анилы (+)-камфоры и (−)-фенхона могут рассматриваться как основные интермедиаты для функциональных ариламинов, содержащих монотерпеноидный фрагмент каркасного строения. Соответствующие продукты восстановления анилов представляют интерес в качестве биоизостерических структурных аналогов известного отечественного актопротектора “Бромантана” (рис. 1), которые способны выгодно отличаться от него по совокупности биологических свойств.

<sup>1</sup>Волгоградский государственный технический университет, 400005 Волгоград, Россия

<sup>2</sup>Научно-технологический университет “Сириус”, 354340 федеральная территория “Сириус”, Россия

<sup>3</sup>Новосибирский национальный исследовательский государственный университет, 630090 Новосибирск, Россия

\*E-mail: vernigora.andrey@gmail.com



Рис. 1. Структурная формула бромантана.

Представленные выше примеры демонстрируют актуальность исследований, направленных как на изучение фармакологических свойств азотсодержащих производных монотерпеноидов, так и на разработку высокоэффективных и технологичных способов получения производных этого ряда.

Целью настоящей работы являлась разработка нового технологичного подхода к получению анилов (+)-камфоры и (–)-фенхона, позволяющего получать целевые продукты с хорошими выходом и чистотой. Учитывая, что указанные монотерпеноиды имеют каркасное строение, существует вероятность как перегруппировок по типу Вагнера–Меервейна, так и разрыва их бициклического каркаса с образованием производных циклопентана [13].

Классические способы получения анилов (+)-камфоры, как правило, заключаются в конденсации кетона с замещенными анилинами в присутствии кислот Льюиса или Бренстеда с добавлением в некоторых случаях агентов, необходимых для связывания побочных продуктов, например:  $TiCl_4/Et_3N$  [14],  $p\text{-TsOH}$  [15],  $Si(OEt)_4/H_2SO_4$  [16],  $HCl$  [17]. В аналогичных условиях синтезируют и симметричные анилы, содержащие два монотерпеновых остатка, из диаминов различного строения [18, 19]. Также в литературе описан способ синтеза анилов (+)-камфоры в присутствии молекулярных сит и алюмосиликатного катализатора [20].

Стоит отметить, что при использовании  $Si(OEt)_4$  целевой продукт загрязняется олигосилоксанами, избавляться от которых приходится путем дополнительной щелочной обработки, что затрудняет выделение продукта в чистом виде и его очистку, также этот способ не пригоден для веществ, чувствительных к действию щелочи. Применение  $TiCl_4$ , являющегося сильной кислотой Льюиса, требует использования большого избытка амина для связывания выделяющегося  $HCl$ .

Наиболее близким к разработанному нами является способ, основанный на взаимодействии (+)-камфоры с  $2\text{-H}_2NC_6H_4CN$  в присутствии  $(i\text{-PrO})_4Ti$  с выходом чистого продукта 48% [21]. Недостатками этого способа являются низкая чистота полученного продукта, невысокий выход в пересчете на чистое вещество, трудоемкое выде-

ление, а также неприменимость для получения веществ, молекулы которых содержат функциональные группы, лабильные по отношению к щелочному гидролизу.

Получение анилов (–)-фенхона представляет собой более сложную задачу в связи с большим экранированием карбонила за счет иного расположения двух метильных групп в молекуле, по сравнению с камфорой. Единичные примеры получения анилов (–)-фенхона заключаются во взаимодействии фенхан-2-тиона (или фенхан-2-селена) с  $PhN_3$  [22] или реакции  $2\text{-BrC}_6H_4NH_2$  и (–)-фенхона, катализируемой  $TiCl_4$  [23]. В работе [22] применение этого метода ограничено использованием труднодоступных и токсичных исходных соединений. Недостатками способа, предложенного в работе [23], является необходимость применения многократного избытка 2-броманилина, расходующегося на образование его солянокислой соли под действием  $HCl$ , которая образуется при гидролизе  $TiCl_4$ , а также невысокими выходами, ограниченной применимостью к получению веществ, лабильных к действию  $TiCl_4$ , сложной процедурой выделения и необходимостью применения колоночной хроматографии для выделения целевых продуктов в чистом виде.

Предложенный в настоящей работе способ получения анилов (+)-камфоры и (–)-фенхона заключается во взаимодействии исходного кетона,  $ArNH_2$  и  $(i\text{-PrO})_4Ti$  в мольном соотношении 1 : 1.1 : 0.55–1.1 соответственно, в присутствии полученного *in situ* из  $(i\text{-PrO})_4Ti$  и  $TfOH$  – комплексного соединения, выполняющего роль гомогенного кислотного катализатора, – в отсутствие растворителя, при 175–180°C (схема 1).

Суть данного подхода к получению анилов терпеноидных кетонов заключается в конденсации карбонильного соединения 1 или 3 с  $ArNH_2$ , катализируемой комплексом  $(i\text{-PrO})_2Ti(OTf)_2\cdot(i\text{-PrOH})_2$  5, полученным *in situ* из  $(i\text{-PrO})_4Ti$  и  $TfOH$ . В этой реакции  $(i\text{-PrO})_4Ti$  также является конденсирующим агентом, который под действием воды, образующейся в ходе реакции, гидролизуется до  $TiO_2$ , выпадающего в осадок, и  $i\text{-PrOH}$ , который отгоняется из реакционной смеси в процессе образования целевых продуктов (схема 2).

Применение комплекса 5 [24] в качестве катализатора конденсации кетонов 1 и 3 с ариламиналами в сочетании с  $(i\text{-PrO})_4Ti$  не является традиционным. Данная комбинация направлена на мягкий катализ реакции, сочетающийся со связыванием выделяющейся воды и постоянным удалением образующегося при этом  $i\text{-PrOH}$  из реакционной смеси, что делает процесс образования целевых анилов практически необратимым, а также исключает необходимость применения большого избытка  $ArNH_2$ .

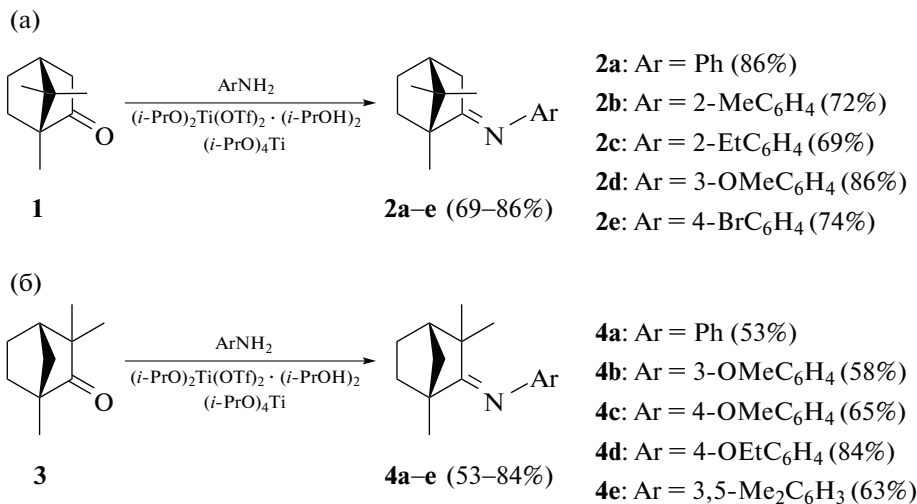


Схема 1. Получение анилов (+)-камфоры **2a–e** (а) и (–)-фенхона **4a–e** (б).

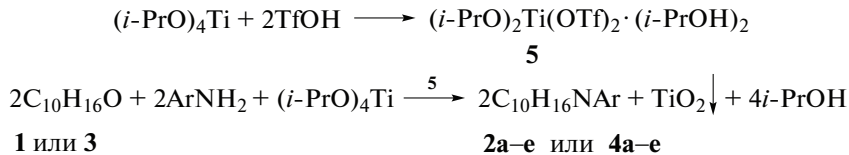


Схема 2

Чтобы оценить влияние комплекса **5** в качестве катализатора на эффективность протекания реакции, была проведена серия экспериментов с использованием предложенного катализатора и без него в одинаковых условиях (табл. 1). На примере взаимодействия монотерпеноидных кетонов **1** и **3** с простейшим представителем гомологического ряда ариламинов — анилином — удалось показать, что использование катализатора действительно обеспечивает увеличение выходов целевых продуктов. Наличие комплекса **5** в реакционной массе в большей степени повышает эффективность реакции конденсации (–)-фенхона с соответствующим ариламином. Данные закономерности будут распространяться и на взаимодействия с замещенными анилинами.

Необходимость применения избытка  $(i\text{-PrO})_4\text{Ti}$  обусловлена его гидролитической лабильностью и возможностью частичного гидролиза в ходе проведения реакции. Кроме этого, по мере протекания процесса  $(i\text{-PrO})_4\text{Ti}$  расходуется на связывание образующейся воды, а его избыток позволяет предупредить существенное замедление реакции во второй ее половине. На примере получения соединений **2b,c** на основе *ортопроизводных* анилина, содержащих наиболее экранированную аминогруппу, исследовано влияние

соотношения исходных реагентов на выход целевых продуктов реакции (табл. 2).

Таким образом, установлено, что использование 0.825 экв.  $(i\text{-PrO})_4\text{Ti}$  по отношению к исходному кетону является оптимальным условием, позволяющим получать целевые анилы **2b,c** с максимальным выходом (72 и 69% соответственно). Содержание 0.55 экв.  $(i\text{-PrO})_4\text{Ti}$  в реакции снижает выход целевых анилов **2b,c** до 59 и 50%, а 1.1 экв.  $(i\text{-PrO})_4\text{Ti}$  — до 61 и 43% соответственно. Другими словами, как разбавление реакционной массы  $(i\text{-PrO})_4\text{Ti}$ , так и значительное уменьшение количества конденсирующего агента (за счет ухудшения связывания воды, выделяющейся в

Таблица 1. Влияние комплекса **5** в качестве катализатора на выход целевых продуктов **2a** и **4a**

Соединение	Наличие катализатора в системе	Выход, %
<b>2a</b>	—	32
	+	<b>86</b>
<b>4a</b>	—	15
	+	<b>53</b>

**Таблица 2.** Влияние соотношения реагентов на выход целевых продуктов **2b** и **2c**

Соединение	Соотношения исходных реагентов (+)-камфора : : ArNH <sub>2</sub> : (i-PrO) <sub>4</sub> Ti	Выход, %
<b>2b</b>	1 : 1.1 : 0.55	59
	1 : 1.1 : 0.825	72
	1 : 1.1 : 1.1	61
<b>2c</b>	1 : 1.1 : 0.55	50
	1 : 1.1 : 0.825	69
	1 : 1.1 : 1.1	43

ходе реакции) приводит к понижению выхода целевых веществ.

Таким образом, разработан эффективный способ получения анилов (+)-камфоры и (–)-фенхона, которые могут представлять интерес ввиду ряда ценных практических свойств. Предложенный метод заключается во взаимодействии монотерпеноидных кетонов с ArNH<sub>2</sub> без растворителя в присутствии (i-PrO)<sub>4</sub>Ti в соотношении 1 : 1.1 : : 0.825 соответственно и комплексного катализатора (i-PrO)<sub>2</sub>Ti(OTf)<sub>2</sub>·(i-PrOH)<sub>2</sub>. Найденное оптимальное соотношение реагентов позволяет получать целевые продукты с хорошими выходами и чистотой.

## ЭКСПЕРИМЕНТАЛЬНАЯ ЧАСТЬ

Спектры <sup>1</sup>H и <sup>13</sup>C ЯМР соединений **2d–e**, **4a–e** регистрировали на спектрометре Bruker AV600 (США) (600 и 150 МГц соответственно) в CDCl<sub>3</sub>. Спектры <sup>1</sup>H и <sup>13</sup>C ЯМР соединений **2a–c** регистрировали на спектрометре Bruker AV600 (США) (600 и 150 МГц соответственно) в C<sub>6</sub>D<sub>6</sub>. Химические сдвиги ядер <sup>1</sup>H и <sup>13</sup>C приведены относительно Me<sub>4</sub>Si или сигналов растворителя (CDCl<sub>3</sub>: δ<sub>H</sub> 7.26 м. д., δ<sub>C</sub> 77.06 м. д.; C<sub>6</sub>D<sub>6</sub>: δ<sub>H</sub> 7.16 м. д., δ<sub>C</sub> 128.00 м. д.). Двумерные спектры <sup>1</sup>H–<sup>13</sup>C HSQC соединений **2a–e**, **4a–e** регистрировали с использованием методики Z-градиентных импульсов (время смешивания 700 мс).

Для проведения тонкослойной хроматографии использовали пластинки Polygram Sil G/UV254 (Macherey-Nagel, Германия), визуализация пятен соединений в УФ-свете. Значения R<sub>f</sub> веществ указаны для элюента (циклогексан : EtOAc = 19 : 1 (об.)).

Масс-спектры высокого разрешения соединений **2a–e**, **4a–e** регистрировали на приборе Bruker Maxis (США).

Показатель преломления измеряли на рефрактометре ИРФ-454Б2М (Россия).

Для синтеза использовали реагенты фирмы “Alfa Aesar” и растворители фирмы “Компонент-Реактив”.

*Общая методика получения анилов (+)-камфоры **2a–e** и (–)-фенхона **4a–e**.* К 12.2 мл (i-PrO)<sub>4</sub>Ti (11.72 г, 41.25 ммоль) последовательно добавляли 0.25 мл CF<sub>3</sub>S(O)<sub>2</sub>OH (0.42 г, 2.75 ммоль), 7.61 г монотерпеноидного кетона **1** или **3** (50 ммоль) и соответствующее производное анилина (55 ммоль). Полученную смесь нагревали с нисходящим ходильником и защитой от влаги воздуха при температуре бани 175–180°C до практического полной отгонки расчетного количества i-PrOH. Далее реакционную смесь охлаждали до комнатной температуры, обрабатывали *t*-BuOMe и выливали в 100 мл насыщенного водного раствора NaHCO<sub>3</sub>. После интенсивного перемешивания в течение 15 мин смесь фильтровали от осадка TiO<sub>2</sub> на воронке Бюхнера. Осадок на фильтре промывали *t*-BuOMe и хорошо отжимали. От фильтрата отделяли органический раствор, промывали его насыщенным водным раствором NaCl, фильтровали через тонкий слой силикагеля для тонкослойной хроматографии и отгоняли растворитель при пониженном давлении. Кубовый остаток фракционировали в вакууме.

*N-[(1R)-камфан-2-илиден]-анилин **2a**.* Выход 9.71 г (86%).  $n_D^{23} = 1.5430$ .  $R_f = 0.35$ .  $T_{\text{кип.}} = 134\text{--}139^\circ\text{C}$  (5 мм рт.ст.) (ср.  $T_{\text{кип.}} = 164.5\text{--}166^\circ\text{C}$  (15 мм рт.ст.) [25], 225°C (65 мм рт.ст.) [26]). <sup>1</sup>H ЯМР (600 МГц, C<sub>6</sub>D<sub>6</sub>, δ, м. д., J, Гц): 0.74 (с, 3Н, C(7)CH<sub>3</sub> камфан), 0.76 (с, 3Н, C(7)CH<sub>3</sub> камфан), 0.96–1.00 (м, 1Н, C(5)Н камфан), 1.20 (с, 3Н, C(1)CH<sub>3</sub> камфан), 1.44–1.48 (м, 1Н, C(6)Н камфан), 1.54 (т, *J* 4.4 Гц, 1Н, C(4)Н камфан), 1.54–1.64 (м, 2Н, C(5,6)Н камфан), 1.58 (д, *J* 17.6 Гц, 1Н, C(3)Н камфан), 2.04 (дд, *J* 17.6, 4.8, 2.6 Гц, 1Н, C(3)Н камфан), 6.78–6.81 (м, 2Н, C(2,6)<sup>Ar</sup>H), 6.95 (тт, *J* 7.2, 4.7 Гц, 1Н, C(4)<sup>Ar</sup>H), 7.20–7.23 (м, 2Н, C(3,5)<sup>Ar</sup>H). Спектр <sup>1</sup>H ЯМР согласуется с представленным в литературе [27]. <sup>13</sup>C ЯМР (150 МГц, C<sub>6</sub>D<sub>6</sub>, δ, м. д.): 11.99, 19.38, 19.99, 28.01, 32.76, 36.47, 44.49, 47.37, 54.47, 120.11, 120.56, 130.63, 153.56, 183.28. Масс-спектр, *m/z*: 228.1747 [M + H]<sup>+</sup>; вычислено для C<sub>16</sub>H<sub>21</sub>N, M + H: 228.1744.

*N-[(1R)-камфан-2-илиден]-2-метиланилин **2b**.* Выход 8.70 (72%).  $n_D^{23} = 1.5345$ .  $R_f = 0.38$ .  $T_{\text{кип.}} = 137\text{--}143^\circ\text{C}$  (5.1 мм рт.ст.). <sup>1</sup>H ЯМР (600 МГц, C<sub>6</sub>D<sub>6</sub>, δ, м. д., J, Гц): 0.73 (с, 3Н, C(7)CH<sub>3</sub> камфан), 0.76 (с, 3Н, C(7)CH<sub>3</sub> камфан), 0.96–0.99 (м, 1Н, C(5)Н камфан), 1.21 (с, 3Н, C(1)CH<sub>3</sub> камфан), 1.44–1.48 (м, 1Н, C(6)Н камфан), 1.47 (д, *J* 17.6 Гц, 1Н, C(3)Н камфан), 1.53 (т, *J* 4.4 Гц, 1Н, C(4)Н камфан), 1.56–1.66 (м, 2Н, C(5,6)Н камфан), 1.93 (дд, *J* 17.6, 4.7, 2.4 Гц, 1Н, C(3)Н камфан), 2.11 (с,

3H, C(2)<sup>Ar</sup>CH<sub>3</sub>), 6.63 (дд, *J* 7.7, 1.3 Гц, 1H, C(6)<sup>Ar</sup>H), 6.96 (тд, *J* 7.7, 1.3 Гц, 1H, C(4)<sup>Ar</sup>H), 7.09 (т, *J* 7.6 Гц, 1H, C(5)<sup>Ar</sup>H), 7.11 (д, *J* 7.5 Гц, 1H, C(3)<sup>Ar</sup>H). <sup>13</sup>C ЯМР (150 МГц, C<sub>6</sub>D<sub>6</sub>, δ, м. д.): 11.91, 18.16, 19.40, 20.09, 28.00, 32.97, 37.07, 44.48, 47.46, 54.58, 119.07, 123.60, 127.08, 127.69, 131.05, 151.95, 183.28. Спектры <sup>1</sup>H, <sup>13</sup>C ЯМР согласуются с представленными в литературе [16]. Масс-спектр, *m/z*: 242.1903 [M + H]<sup>+</sup>; вычислено для C<sub>17</sub>H<sub>23</sub>N, M + H: 242.1910.

#### *N*-[(1*R*)-камфан-2-илиден]-2-этиланилин 2c.

Выход 8.81 г (69%). *n*<sub>D</sub><sup>24</sup> = 1.5370. *R*<sub>f</sub> = 0.43. *T*<sub>кип.</sub> = 128–135°C (2.3 мм рт.ст.). <sup>1</sup>H ЯМР (600 МГц, C<sub>6</sub>D<sub>6</sub>, δ, м. д., *J*, Гц): 0.76 (с, 3H, C(7)CH<sub>3</sub> камфан), 0.78 (с, 3H, C(7)CH<sub>3</sub> камфан), 0.97–1.01 (м, 1H, C(5)H камфан), 1.19 (т, *J* 7.6 Гц, 3H, CH<sub>2</sub>CH<sub>3</sub>), 1.21 (с, 3H, C(1)CH<sub>3</sub> камфан), 1.44–1.65 (м, 4H, C(4,5,6,6)H камфан), 1.53 (д, 1H, *J* 17.6 Гц, C(3)H камфан), 2.03 (ддд, *J* 17.6, 4.7, 2.4 Гц, 1H, C(3)H камфан), 2.51–2.64 (м, 2H, CH<sub>2</sub>CH<sub>3</sub>), 6.62 (д, *J* 7.8 Гц, 1H, C(6)<sup>Ar</sup>H), 6.96 (т, *J* 7.5 Гц, 1H, C(4)<sup>Ar</sup>H), 7.09 (т, *J* 7.6 Гц, 1H, C(5)<sup>Ar</sup>H), 7.19 (д, *J* 7.5 Гц, 1H, C(3)<sup>Ar</sup>H). <sup>13</sup>C ЯМР (150 МГц, C<sub>6</sub>D<sub>6</sub>, δ, м. д.): 11.91, 14.96, 19.40, 20.09, 25.27, 28.00, 32.98, 36.93, 44.45, 47.46, 54.64, 119.26, 123.92, 127.11, 129.35, 134.32, 151.25, 182.59. Масс-спектр, *m/z*: 256.2060 [M + H]<sup>+</sup>; вычислено для C<sub>18</sub>H<sub>25</sub>N, M + H: 256.2052.

#### *N*-[(1*R*)-камfan-2-илиден]-3-метоксианилин 2d.

Выход 11.12 г (86%). *n*<sub>D</sub><sup>23</sup> = 1.5450. *R*<sub>f</sub> = 0.20. *T*<sub>кип.</sub> = 142–162°C (4.1 мм рт.ст.) (ср. *T*<sub>кип.</sub> = 246–249°C (350 мм рт.ст.) [26]). <sup>1</sup>H ЯМР (600 МГц, CDCl<sub>3</sub>, δ, м. д., *J*, Гц): 0.88 (с, 3H, C(7)CH<sub>3</sub> камfan), 0.98 (с, 3H, C(7)CH<sub>3</sub> камfan), 1.12 (с, 3H, C(1)CH<sub>3</sub> камfan), 1.24–1.28 (м, 2H, C(5,6)H камfan), 1.52–1.57 (м, 1H, C(4)H камfan), 1.78–1.82 (м, 2H, C(5,6)H камfan), 1.87–1.91 (м, 1H, C(3)H камfan), 2.26 (дт, *J* 10.2, 4.2, 3.6 Гц, 1H, C(3)H камfan), 3.78 (с, 3H, OCH<sub>3</sub>), 6.36 (т, *J* 7.8 Гц, 2H, C(2,6)<sup>Ar</sup>H), 6.61 (дд, *J* 6.0, 2.4 Гц, 1H, C(4)<sup>Ar</sup>H), 7.19 (т, *J* 7.5 Гц, 1H, C(5)<sup>Ar</sup>H), 7.19 (т, *J* 7.5 Гц, 1H, C(5)<sup>Ar</sup>H). <sup>13</sup>C ЯМР (150 МГц, CDCl<sub>3</sub>, δ, м. д.): 11.21, 18.97, 19.55, 27.32, 32.02, 36.22, 43.72, 47.33, 54.18, 55.21, 99.84, 102.49, 106.50, 129.70, 149.30, 160.22, 182.94. Масс-спектр, *m/z*: 258.1852 [M + H]<sup>+</sup>; вычислено для C<sub>17</sub>H<sub>23</sub>NO, M + H: 258.1854.

#### 4-Бром-*N*-[(1*R*)-камfan-2-илиден]анилин 2e.

Выход 11.30 г (74%). *n*<sub>D</sub><sup>24</sup> = 1.5660. *R*<sub>f</sub> = 0.39. *T*<sub>кип.</sub> = 130–135°C (1.1 мм рт.ст.). <sup>1</sup>H ЯМР (600 МГц, CDCl<sub>3</sub>, δ, м. д., *J*, Гц): 0.88 (с, 3H, C(7)CH<sub>3</sub> камfan), 0.99 (с, 3H, C(7)CH<sub>3</sub> камfan), 1.07 (с, 3H, C(1)CH<sub>3</sub> камfan), 1.14–1.29 (м, 1H, C(5)H камfan), 1.46–1.53 (м, 1H, C(4)H камfan), 1.68–1.78 (м, 2H, C(5,6)H камfan), 1.81–1.91 (м, 2H,

C(3,6)H камfan), 2.13–2.20 (м, 1H, C(3)H камfan), 6.58–6.63 (м, 2H, C(2,6)<sup>Ar</sup>H), 7.35–7.39 (м, 2H, C(3,5)<sup>Ar</sup>H). <sup>13</sup>C ЯМР (150 МГц, CDCl<sub>3</sub>, δ, м. д.): 11.23, 19.13, 19.76, 27.36, 32.18, 36.13, 43.79, 46.85, 53.88, 117.75, 122.91, 128.87, 153.34, 184.71. Масс-спектр, *m/z*: 306.0852 [M + H]<sup>+</sup>, C<sub>16</sub>H<sub>20</sub><sup>79</sup>BrN; 308.0831 [M + H]<sup>+</sup>, C<sub>16</sub>H<sub>20</sub><sup>81</sup>BrN; вычислено для C<sub>16</sub>H<sub>20</sub>BrN, M + H: 307.2481.

#### *N*-[(1*R*)-фенхан-2-илиден]-анилин 4a.

Смесь изомеров. Выход 5.98 г (53%). *n*<sub>D</sub><sup>23</sup> = 1.5410. *R*<sub>f</sub> = 0.43. *T*<sub>кип.</sub> = 124–128°C (4.4 мм рт.ст.) (ср. *T*<sub>кип.</sub> = 154–156°C (11 мм рт.ст.) [28]). <sup>1</sup>H ЯМР (600 МГц, CDCl<sub>3</sub>, δ, м. д., *J*, Гц): 0.72 (с, 3H, C(1)CH<sub>3</sub> фенхан), 0.87 (с, 3H, C(3)CH<sub>3</sub> фенхан), 1.05 (с, 3H, C(3)CH<sub>3</sub> фенхан), 1.16–1.32 (м, 3H, C(6,7,7)H фенхан), 1.44–1.70 (м, 1H, C(5)H фенхан), 1.80–1.92 (м, 2H, C(5,6)H фенхан), 1.99–2.02 (1H, м, C(4)H фенхан), 6.72 (д, *J* 7.8 Гц, 2H, C(2,6)<sup>Ar</sup>H), 6.95 (т, *J* 7.2 Гц, 1H, C(4)<sup>Ar</sup>H), 7.20 (т, *J* 7.4 Гц, 2H, C(3,5)<sup>Ar</sup>H). <sup>13</sup>C ЯМР (150 МГц, CDCl<sub>3</sub>, δ, м. д.): 17.28, 19.10, 24.33, 24.50, 25.13, 25.32, 26.13, 26.35, 33.93, 35.15, 42.25, 45.27, 45.67, 46.75, 49.24, 119.17, 119.57, 121.87, 122.09, 127.86, 128.02, 150.75, 151.14, 185.79. Масс-спектр, *m/z*: 228.1747 [M + H]<sup>+</sup>; вычислено для C<sub>16</sub>H<sub>21</sub>N, M + H: 228.1744.

#### 3-Метокси-*N*-[(1*R*)-фенхан-2-илиден]анилин 4b.

Смесь изомеров. Выход 7.54 г (58%). *n*<sub>D</sub><sup>23</sup> = 1.5460. *R*<sub>f</sub> = 0.19 (син-форма), *R*<sub>f</sub> = 0.27 (анти-форма). *T*<sub>кип.</sub> = 155–167°C (5.9 мм рт.ст.). <sup>1</sup>H ЯМР (600 МГц, CDCl<sub>3</sub>, δ, м. д., *J*, Гц): 0.78 (с, 3H, C(1)CH<sub>3</sub> фенхан), 0.90 (с, 3H, C(3)CH<sub>3</sub> фенхан), 1.04 (с, 3H, C(3)CH<sub>3</sub> фенхан), 1.17–1.27 (м, 3H, C(6,7,7)H фенхан), 1.44–1.67 (м, 1H, C(5)H фенхан), 1.80–1.91 (м, 2H, C(5,6)H фенхан), 1.96–2.01 (м, 1H, C(4)H фенхан), 3.77 (с, 3H, OCH<sub>3</sub>), 6.28–6.33 (м, 2H, C(2,6)<sup>Ar</sup>H), 6.52 (д, *J* 7.9 Гц, 1H, C(4)<sup>Ar</sup>H), 7.06–7.12 (м, 1H, C(5)<sup>Ar</sup>H). <sup>13</sup>C ЯМР (150 МГц, CDCl<sub>3</sub>, δ, м. д.): 17.28, 18.96, 22.63, 24.31, 24.58, 25.14, 25.58, 26.24, 26.34, 33.94, 35.14, 42.26, 45.26, 45.69, 49.26, 55.00, 55.11, 104.96, 105.37, 107.61, 107.83, 111.98, 112.37, 128.62, 128.80, 129.92, 152.10, 159.45, 185.83. Масс-спектр, *m/z*: 258.1852 [M + H]<sup>+</sup>; вычислено для C<sub>17</sub>H<sub>23</sub>NO, M + H: 258.1854.

#### 4-Метокси-*N*-[(1*R*)-фенхан-2-илиден]анилин 4c.

Смесь изомеров. Выход 8.45 г (65%). *n*<sub>D</sub><sup>23</sup> = 1.5460. *R*<sub>f</sub> = 0.18. *T*<sub>кип.</sub> = 145–155°C (4 мм рт.ст.). <sup>1</sup>H ЯМР (600 МГц, CDCl<sub>3</sub>, δ, м. д., *J*, Гц): 0.72 (с, 3H, C(1)CH<sub>3</sub> фенхан), 0.86 (с, 3H, C(3)CH<sub>3</sub> фенхан), 1.03 (с, 3H, C(3)CH<sub>3</sub> фенхан), 1.16–1.26 (м, 3H, C(6,7,7)H фенхан), 1.42–1.69 (м, 2H, C(5,6)H фенхан), 1.78–1.90 (м, 2H, C(4,5)H фенхан), 3.77 (с, 3H, OCH<sub>3</sub>), 6.63 (д, *J* 8.4 Гц, 2H, C(2,6)<sup>Ar</sup>H), 6.75–6.80 (м, 2H, C(3,5)<sup>Ar</sup>H). <sup>13</sup>C ЯМР (150 МГц,

$\text{CDCl}_3$ , δ, м. д.): 17.35, 19.21, 21.42, 21.70, 24.41, 24.58, 25.14, 25.35, 26.14, 26.37, 33.95, 35.12, 42.26, 45.40, 45.68, 49.35, 55.32, 55.61, 113.23, 113.38, 114.79, 114.90, 120.11, 120.48, 144.10, 144.52, 154.92, 155.16, 186.79. Масс-спектр,  $m/z$ : 258.1852 [M + H]<sup>+</sup>; вычислено для  $\text{C}_{17}\text{H}_{23}\text{NO}$ , M + H: 258.1854.

#### 4-Этокси-N-[(IR)-фенхан-2-илиден]анилин 4d.

Смесь изомеров. Выход 11.40 г (84%).  $n_{\text{D}}^{23} = 1.5380$ .  $R_f = 0.21$ .  $T_{\text{кип.}} = 135\text{--}145^\circ\text{C}$  (2.8 мм рт.ст.). <sup>1</sup>Н ЯМР (600 МГц,  $\text{CDCl}_3$ , δ, м. д., J, Гц): 0.72 (с, 3Н, C(1)CH<sub>3</sub> фенхан), 0.86 (с, 3Н, C(3)CH<sub>3</sub> фенхан), 1.02 (с, 3Н, C(3)CH<sub>3</sub> фенхан), 1.16–1.20 (м, 3Н, C(6,7,7)Н фенхан), 1.26 (т, J 13.8, 6.0 Гц, 3Н, OCH<sub>2</sub>CH<sub>3</sub>), 1.35–1.54 (м, 2Н, C(5,6)Н фенхан), 1.58–1.89 (м, 2Н, C(4,5)Н фенхан), 3.93–4.00 (м, 2Н, OCH<sub>2</sub>), 6.57–6.62 (м, 2Н, C(2,6)<sup>Ar</sup>H), 6.74–6.77 (м, 2Н, C(3,5)<sup>Ar</sup>H). <sup>13</sup>C ЯМР (150 МГц,  $\text{CDCl}_3$ , δ, м. д.): 14.86, 14.93, 17.34, 19.19, 22.84, 24.40, 24.56, 25.13, 25.34, 26.12, 26.37, 33.93, 35.10, 42.23, 45.37, 45.65, 49.33, 63.49, 113.90, 114.06, 115.21, 115.68, 120.00, 120.43, 154.23, 154.41, 186.34, 186.65. Масс-спектр,  $m/z$ : 272.2009 [M + H]<sup>+</sup>; вычислено для  $\text{C}_{18}\text{H}_{25}\text{NO}$ , M + H: 272.2009.

#### 3,5-Диметил-N-[(IR)-фенхан-2-илиден]анилин 4e.

Смесь изомеров. Выход 7.99 г (63%).  $R_f = 0.56$ .  $T_{\text{кип.}} = 145\text{--}151^\circ\text{C}$  (6.1 мм рт.ст.). <sup>1</sup>Н ЯМР (600 МГц,  $\text{CDCl}_3$ , δ, м. д., J, Гц): 0.77 (с, 3Н, C(1)CH<sub>3</sub> фенхан), 0.88 (с, 3Н, C(3)CH<sub>3</sub> фенхан), 0.98 (с, 3Н, C(1)CH<sub>3</sub> фенхан), 1.23–1.27 (м, 3Н, C(6,7,7)Н фенхан), 1.52–1.57 (м, 1Н, C(5)Н фенхан), 1.73–1.81 (м, 2Н, C(5,6)Н фенхан), 1.87–1.92 (м, 1Н, C(4)Н фенхан), 2.25 (с, 6Н, C(3,5)<sup>Ar</sup>CH<sub>3</sub>), 6.33 (м, 1Н, C(2,6)<sup>Ar</sup>H), 6.58 (д, J 7.9 Гц, 1Н, C(4)<sup>Ar</sup>H). <sup>13</sup>C ЯМР (150 МГц,  $\text{CDCl}_3$ , δ, м. д.): 11.13, 18.92, 19.03, 19.45, 19.66, 27.31, 31.95, 36.10, 43.66, 47.08, 53.84, 118.35, 119.34, 122.96, 152.00, 184.71. Масс-спектр,  $m/z$ : 256.2060 [M + H]<sup>+</sup>; вычислено для  $\text{C}_{18}\text{H}_{25}\text{N}$ , M + H: 256.2062.

#### БЛАГОДАРНОСТИ

Работа выполнена с использованием парка приборов Центра коллективного пользования (ЦКП) Института органической химии им. Н.Д. Зелинского Российской академии наук.

#### ИСТОЧНИКИ ФИНАНСИРОВАНИЯ

Исследование выполнено за счет гранта Российского Научного Фонда № 22-13-20062, <https://rscf.ru/project/22-13-20062/> и гранта Администрации Волгоградской области по соглашению № 2 от 10.06.2022 г.

#### КОНФЛИКТ ИНТЕРЕСОВ

Авторы заявляют об отсутствии конфликта интересов.

#### СОБЛЮДЕНИЕ ЭТИЧЕСКИХ НОРМ

Настоящая статья не содержит описания выполненных авторами исследований с участием людей или использованием животных в качестве объектов.

#### СПИСОК ЛИТЕРАТУРЫ

- Chernyshov V.V., Popadyuk I.I., Yarovaya O.I., Salakhutdinov N.F. // Top. Curr. Chem. 2022. V. 380. № 5. P. 42.  
<https://doi.org/10.1007/s41061-022-00399-1>
- Yarovaya O.I., Salakhutdinov N.F. // Russ. Chem. Rev. 2021. V. 90. № 4. P. 488–510.  
<https://doi.org/10.1070/RCR4969>
- Машковский М.Д. Лекарственные средства. 16-е изд., перераб., испр. и доп. М.: Изд-во Новая волна, 2012. 1216 с.
- Zielinska-Błajet M., Feder-Kubis J. // Int. J. Mol. Sci. 2020. V. 21. № 19. P. 7078.  
<https://doi.org/10.3390/ijms21197078>
- Sokolova A.S., Yarovaya O.I., Baev D.S., Shernyukov A.V., Shtro A.A., Zarubaev V.V., Salakhutdinov N.F. // Eur. J. Med. Chem. 2017. V. 127. P. 661–670.  
<https://doi.org/10.1016/j.ejmech.2016.10.035>
- Sokolova A.S., Yarovaya O.I., Shernyukov A.V., Gatilov Y.V., Razumova Y.V., Zarubaev V.V., Tretiak T.S., Pokrovsky A.G., Kiselev O.I., Salakhutdinov N.F. // Eur. J. Med. Chem. 2015. V. 105. P. 263–273.  
<https://doi.org/10.1016/j.ejmech.2015.10.010>
- Sokolova A.S., Yarovaya O.I., Shernyukov A.V., Pokrovsky M.A., Pokrovsky A.G., Lavrinenco V.A., Zarubaev V.V., Tretiak T.S., Anfimov P.M., Kiselev O.I., Beklemishev A.B., Salakhutdinov N.F. // Bioorg. Med. Chem. 2013. V. 21. № 21. P. 6690–6698.  
<https://doi.org/10.1016/j.bmc.2013.08.014>
- Artyushin O.I., Sharova E.V., Vinogradova N.M., Genkina G.K., Moiseeva A.A., Klemenkova Z.S., Orshanskaya I.R., Shtro A.A., Kadyrova R.A., Zarubaev V.V., Yarovaya O.I., Salakhutdinov N.F., Brel V.K. // Bioorg. Med. Chem. Lett. 2017. V. 27. № 10. P. 2181–2184.  
<https://doi.org/10.1016/j.bmcl.2017.03.051>
- Artyushin O.I., Moiseeva A.A., Zarubaev V.V., Slita A.V., Galochkina A.V., Muryleva A.A., Borisovich S.S., Yarovaya O.I., Salakhutdinov N.F., Brel V.K. // Chem. Biodivers. 2019. V. 16. № 11. P. e1900340.  
<https://doi.org/10.1002/cbdv.201900340>
- Da Silva E., Da Silva Araújo A., Moraes A., De Souza L., Silva Lourenço M., De Souza M., Wardell J., Wardell S. // Sci. Pharm. 2016. V. 84. № 3. P. 467–483.  
<https://doi.org/10.3390/scipharm84030467>
- Вернигора А.А., Нилидин Д.А., Давиденко А.В., Фан Нгок Ту, Губин С.Г., Губина Е.В., Ваниев М.А., Новаков И.А. // Изв. ВолгГТУ. 2021. V. 252. № 5. С. 47–52.  
<https://doi.org/10.35211/1990-5297-2021-5-252-47-52>
- Winfield S. Age resistor. Патент US 2211629A. 1936.

13. Chernyshov V.V., Yarovaya O.I., Vatsadze S.Z., Borisevich S.S., Trukhan S.N., Gatilov Yu.V., Peshkov R.Yu., Eltsov I.V., Martyanov O.N., Salakhutdinov N.F. // European J. Org. Chem. 2021. V. 2021. № 3. P. 452–463.  
<https://doi.org/10.1002/ejoc.202001397>
14. Zhou J., Liu X., Sun Z. // Heterocycles. 2016. V. 92. № 5. P. 944–953.  
<https://doi.org/10.3987/COM-16-13434>
15. Strekowski L., Patterson S.E., Janda L., Wydra R.L., Harden D.B., Lipowska M., Cegla M.T. // J. Org. Chem. 1992. V. 57. № 1. P. 196–201.  
<https://doi.org/10.1021/jo00027a037>
16. Love B.E., Ren J. // J. Org. Chem. 1993. V. 58. № 20. P. 5556–5557.  
<https://doi.org/10.1021/jo00072a051>
17. Schmitt J., Suquet M., Callet G., Raveux R. // Bull. Soc. Chim. Fr. 1962. P. 444–455.
18. Sokolova A.S., Yarovaya O.I., Korchagina D.V., Zarubaev V.V., Tretiak T.S., Anfimov P.M., Kiselev O.I., Salakhutdinov N.F. // Bioorganic Med. Chem. 2014. V. 22. № 7. P. 2141–2148.  
<https://doi.org/10.1016/j.bmc.2014.02.038>
19. Raza Z., Dakovic S., Vinkovic V., Sunjic V. // Croat. Chem. Acta. 1996. V. 69. P. 1545–1559.
20. Delogu G., De Lucchi O., Fois M.P., Valle G. // Phosphorus. Sulfur. Silicon Relat. Elem. 1990. V. 47. № 3–4. P. 417–425.  
<https://doi.org/10.1080/10426509008037997>
21. Love B.E., Boston T.S., Nguyen B.T., Rorer J.R. // Org. Prep. Proced. Int. 1999. V. 31. № 4. P. 399–405.  
<https://doi.org/10.1080/00304949909355728>
22. Guziec F.S., Moustakis C.A. // J. Chem. Soc., Chem. Commun. 1984. № 1. P. 63–64.  
<https://doi.org/10.1039/C39844000063>
23. Hiroi K., Watanabe K. // Tetrahedron Asymmetry. 2001. V. 12. № 22. P. 3067–3071.  
[https://doi.org/10.1016/S0957-4166\(01\)00546-8](https://doi.org/10.1016/S0957-4166(01)00546-8)
24. Motoyama Y., Tanaka M., Mikami K. // Inorg. Chim. Acta. 1997. V. 256. № 2. P. 161–163.  
[https://doi.org/10.1016/S0020-1693\(97\)05471-6](https://doi.org/10.1016/S0020-1693(97)05471-6)
25. Reddelien M. // Chem. Ber. 1920. V. 53. P. 352.
26. Saccardi L. // Ann. Chim. 1932. V. 22. P. 88.
27. Kafka S., Aigner R., Kappe T. // J. Heterocycl. Chem. 2006. V. 43. № 4. P. 1105–1109.  
<https://doi.org/10.1002/jhet.5570430444>

## NOVEL EFFICIENT SYNTHETIC PATHWAY (+)-CAMP�OR AND (−)-FENCHONE ANILS UNDER HOMOGENOUS CATALYSIS

**A. A. Vernigora<sup>a, #</sup>, R. V. Brunilin<sup>a</sup>, V. V. Burnistrov<sup>a</sup>, A. V. Davidenko<sup>a</sup>, M. B. Nawrozki<sup>b</sup>, N. A. Salykin<sup>a</sup>, V. V. Chernyshov<sup>b,c</sup>, and Academician of the RAS I. A. Novakov<sup>a</sup>**

<sup>a</sup>Volgograd State Technical University, 400005 Volgograd, Russian Federation

<sup>b</sup>Sirius University of Science and Technology, 354340 Krasnodar Krai, Sirius Federal Territory, Russian Federation

<sup>c</sup>Novosibirsk State University, 630090 Novosibirsk, Russian Federation

#E-mail: vernigora.andreyy@gmail.com

An efficient approach to the synthesis of (+)-camphor and (−)-fenchone anils has been developed, which consists in the interaction of the corresponding bicyclic monoterpenoid ketones with substituted anilines in the presence of the (*i*-PrO)<sub>2</sub>Ti(OTf)<sub>2</sub>(*i*-PrOH)<sub>2</sub> complex obtained *in situ*, as a homophasic catalyst, and (*i*-PrO)<sub>4</sub>Ti, as a dehydrating agent. The advantage of the proposed method lies not only in obtaining target products with good yields and high purity, but also in a simplified procedure for isolating target substances, which, in turn, are of interest as pharmacologically active compounds, antioxidants for rubber compounds and components of compositions for 3D-print.

**Keywords:** anils, (+)-camphor, (−)-fenchone, irreversible condensation, Ti-catalysed reaction